# Análise de Métodos para Processamento de Imagens

Pedro Pillon Vanzella 17 de junho de 2015

## 1 Introdução

Dentre as muitas aplicações dos métodos numéricos, uma das mais populares é o processamento de imagens [1]. Estes métodos são empregados em um número de meios, como fotografia digital, tratamento de imagens, produção de vídeo e jogos.

Os problemas de redimensionamento e rotação de imagens são alguns dos mais simples e ao mesmo tempo mais comuns. Analisemos o problema de um jogo: imagens são utilizadas como texturas em praticamente todos os polígonos e um jogo. É possível que elas devam ser redimensionadas ou rotacionadas a cada quadro, e potencialmente milhares delas serão exibidas ao mesmo tempo. É interessante, então, que se faça uso de algoritmos de custo computacional mais baixo possível, de modo a tornar a experiência do jogo mais fluida e agradável.

Para este fim, utilizaremos o ambiente GNU Octave, que é um software livre para a computação numérica e científica [2].

Para os métodos de redimensionamento analisaremos as interpolações *Nearest Neighbor* (Seção 2.1), Bicúbica (Seção 2.3) e Bilinear (Seção 2.2). Para os métodos de rotação, analisaremos os métodos de Rotação por *Nearest Neighbor* (Seção 3.1), por Interpolação Bilinear (Seção 3.2) e por Interpolação Bicúbica (Seção 3.3).

Utilizaremos sempre a mesma imagem como base, de modo a podermos comparar os resultados. Podemos vê-la na Figura 1.

Será feita uma comparação do tempo de execução de cada algoritmo, bem como da qualidade da imagem gerada, de modo a tomar uma decisão quanto à melhor técnica para o caso hipotético de texturas em um jogo 3D.



Figura 1: Uma simpática vaquinha

### 2 Redimensionamento de Imagens

Redimensionamento de imagens é um processo não trivial, que envolve um balanço entre eficiência e qualidade de resultado [5].

Dentre os vários algoritmos existentes para esta tarefa, vamos abordar os três mais comuns [3]: Interpolação por *Nearest Neighbor*, Interpolação Bilinear e Interpolação Bicúbica.

É importante analisarmos exatamente este balanço de qualidade e performance. Uma solução que gere resultados perfeitos, mas demore muito não seria útil, pois deve ser executada milhares de vezes a cada quadro, e isto reduziria a performance do jogo. De mesmo modo, uma solução mais rápida não é útil caso gere resultados muito ruins, ou introduza artefatos que causem discontinuidades nas texturas, pois isso quebraria a ilusão de 3D no jogo.

Desta forma, a escolha de melhor método é, possivelmente, uma combinação de avaliações objetivas e subjetivas. Descarta-se as soluções que geram resultados pouco visualmente agradáveis<sup>1</sup>, e elege-se como melhor o que, dentre os que sobraram, traz resultados mais rápidos<sup>2</sup>.

### 2.1 Interpolação por Nearest Neighbor

Interpolação por *Nearest Neighbor* é o método mais simples de se implementar, bem como o mais rápido [3].

A idéia do algoritmo de *Nearest Neighbor* é simples - simplesmente copiar os pixels mais próximos para o lugar dos que estão sendo adicionados ao se ampliar a imagem. Isto gera resultados rápidos, porém de baixa qualidade, como podemos ver na Figura 2.c. Há um claro serrilhado que é introduzido ao se ampliar a imagem.

Reduzir uma imagem com este algoritmo também gera resultados pouco satisfatórios: novamente serrilhado é introduzido e detalhes são perdidos. Podemos ver isto na Figura 2.a.

<sup>&</sup>lt;sup>1</sup>uma avaliação completamente subjetiva

<sup>&</sup>lt;sup>2</sup>uma avaliação objetiva



Figura 2: Redução e Ampliação com algoritmo de Nearest Neighbor

A Tabela 1 mostra o tempo de execução para redução e ampliação em 50% da imagem da Figura 2.b. Estes dados não nos dizem muito por enquanto, mas serão úteis quando compararmos aos resultados das Seções 2.2 e 2.3. Podemos apenas ver que reduzir uma imagem demora menos que ampliar a mesma. Isto se dá pelo fato de haver menos pixels a serem calculados na imagem reduzida, e é esperado.

Tabela 1: Tempo de execução

Redução	Ampliação	
0.17s	0.21s	

O código em Octave que faz esta interpolação pode ser visto na Figura 3.

```
pkg load image;

I = imread("cow_very_small.png");

nI = imresize(I, 0.5, "nearest");
imwrite(nI, "cow_nearest_smallest.png");
```

Figura 3: Código-Fonte para interpolação Nearest Neighbor no Octave

O importante na listagem da Figura 3 é a linha 5, onde uma chamada para imresize() é feita. Esta função encapsula a chamada para a função interp2(), apenas adicionando algumas garantias de que o primeiro parâmetro é uma imagem válida e verificando se há múltiplos canais³ e, se houver, executando a interpolação para cada um dos canais individualmente.

A função interp2(), por sua vez, recebe um parâmetro (passado pela imresize()) que diz qual tipo de interpolação deve ser feita. Neste caso, escolheu-se nearest.

O segundo parâmetro da função imresize() é o fator de escala. Um fator menor que 1 resultará em uma imagem reduzida. De mesmo modo, um valor superior a 1 resultará em uma ampliação da imagem original.

 $<sup>^3</sup>i.e.$  a imagem está em RGB

#### 2.2 Interpolação Bilinear

A idéia da Interpolação Bilinear é executar uma interpolação linear em uma direção e, em seguida, uma interpolação linear na outra direção.

Conforme [3], podemos calcular a interpolação da seguinte maneira:

Considere quatro pontos, A, B, C e D. Suas coordenadas são, respectivamente, (i,j), (i,j+1), (i+1,j), (i+1,j+1). Para calcular o ponto P(u,v), primeiro vamos calcular um ponto E, que é a interpolação linear de A e B.

$$f(i, j + v) = [f(i, j + 1) - f(i, j)]v + f(i, j)$$

Agora vamos calcular um ponto F, que é a interpolação linear de C e D.

$$f(i+1, j+v) = [f(i+1, j+1) - f(i+1, j)]v + f(i+1, j)$$

Finalmente, basta calcular a interpolação linear de E e F para obter P.

$$f(i+u,j+v) = (1-u)(1-v)f(i,j) - (1-u)vf(i,j+1) + u(1-v)f(i+1,j) + uvf(i+1,j+1)$$

Isto deve ser feito, no caso de uma imagem colorida, para cada canal da imagem. Podemos ver na Figura 4 os resultados de uma redução em 50% (Figura 4.a) e uma ampliação em 50% (Figura 4.c).

A imagem ampliada apresenta um serrilhado em todas as bordas, e a definição da grama é claramente perdida.

O maior problema se encontra na imagem reduzida: uma borda preta foi gerada na imagem, devido ao processo de interpolação. Isto torna este método inútil para a redução de texturas em um jogo.



Figura 4: Redução e Ampliação com algoritmo de Interpolação Bilinear

Na Tabela 2 vemos o tempo de execução para a redução e a ampliação utilizando interpolação bilinear. Novamente, a redução é mais rápida que a ampliação, por haver menos pixels a serem calculados.

O tempo de execução da redução consta na Tabela 2 somente para referência, já que o resultado da mesma não é útil para o problema proposto.

Tabela 2: Tempo de execução

Redução	Ampliação	
0.15s	0.23s	

Vemos na listagem da Figura 5 o código para fazer uma interpolação bilinear em uma imagem com o Octave.

```
pkg load image;

I = imread("cow_very_small.png");

nI = imresize(I, 0.5, "linear");
imwrite(nI, "cow_bilinear_smallest.png");
```

Figura 5: Código-Fonte para interpolação bilinear no Octave

O código é praticamente igual ao da Figura 3, mudando apenas a o parâmetro do método de interpolação.

A função imresize() novamente chamará a função interp2(), passando desta vez o parâmetro *linear*.

#### 2.3 Interpolação Bicúbica

A interpolação bicúbica é, das três testadas neste artigo, a mais complexa – tanto em implementação quanto computacionalmente. [3]

De acordo com [4], podemos calcular a interpolação bicúbica com uma convolução. Podemos ver na Figura 6 os resultados da interpolação bicúbica.

A Figura 6.a é uma redução em 50%. Notamos nela uma borda preta introduzida pela interpolação. Este resultado não nos serve, pois geraria discontinuidades nas texturas<sup>4</sup>.

A Figura 6.c é uma ampliação em 50%. O resultado é bastante satisfatório, com pouco serrilhado. O nível de detalhe da grama e das montanhas ao fundo também é bom.

<sup>&</sup>lt;sup>4</sup>Texturas são muito frequentemente replicadas lado-a-lado em superfícies de jogos, e qualquer discontinuidade estraga a ilusão da superfície



Figura 6: Redução e Ampliação com algoritmo de Interpolação Bicúbica

Na Tabela 3 vemos os tempos de execução deste algoritmo. Novamente o resultado da redução consta somente como referência, pois a imagem gerada não atende os requisitos do problema.

Tabela 3: Tempo de execução

Redução	Ampliação
0.19s	0.29s

A Figura 7 mostra o código em Octave para realizar a interpolação bicúbica em uma imagem.

```
pkg load image;

I = imread("cow_very_small.png");

nI = imresize(I, 0.5, "cubic");
imwrite(nI, "cow_cubic_smallest.png");
```

Figura 7: Código-Fonte para interpolação bicúbica no Octave

Este código é, novamente, muito similar ao da Figura 5 e da Figura 3. A única diferença é na chamada para imresize(), onde se passa o parâmetro *cubic*, que indica que é necessário chamar interp2() com o mesmo parâmetro.

### 2.4 Comparação de Resultados

# 3 Rotação

Novamente temos um problema não trivial, com um balanço entre qualidade e eficiência [5].

#### 3.1 Rotação por Nearest Neighbor

Podemos ver o resultado na Figura 11.b.

```
pkg load image;

I = imread("cow_very_small.png");

nI = imrotate(I, 45, "nearest");
imwrite(nI, "cow_nearest_rotated.png");
```

Figura 8: Código-Fonte para rotação por Nearest Neighbor no Octave

#### 3.2 Rotação por Interpolação Bilinear

```
pkg load image;

I = imread("cow_very_small.png");

nI = imrotate(I, 45, "linear");
imwrite(nI, "cow_bilinear_rotated.png");
```

Figura 9: Código-Fonte para rotação por interpolação bilinear no Octave

### 3.3 Rotação por Interpolação Bicúbica

```
pkg load image;

I = imread("cow_very_small.png");

nI = imrotate(I, 45, "cubic");
imwrite(nI, "cow_cubic_rotated.png");
```

Figura 10: Código-Fonte para rotação por interpolação bicúbica no Octave

### 3.4 Comparação de Resultados

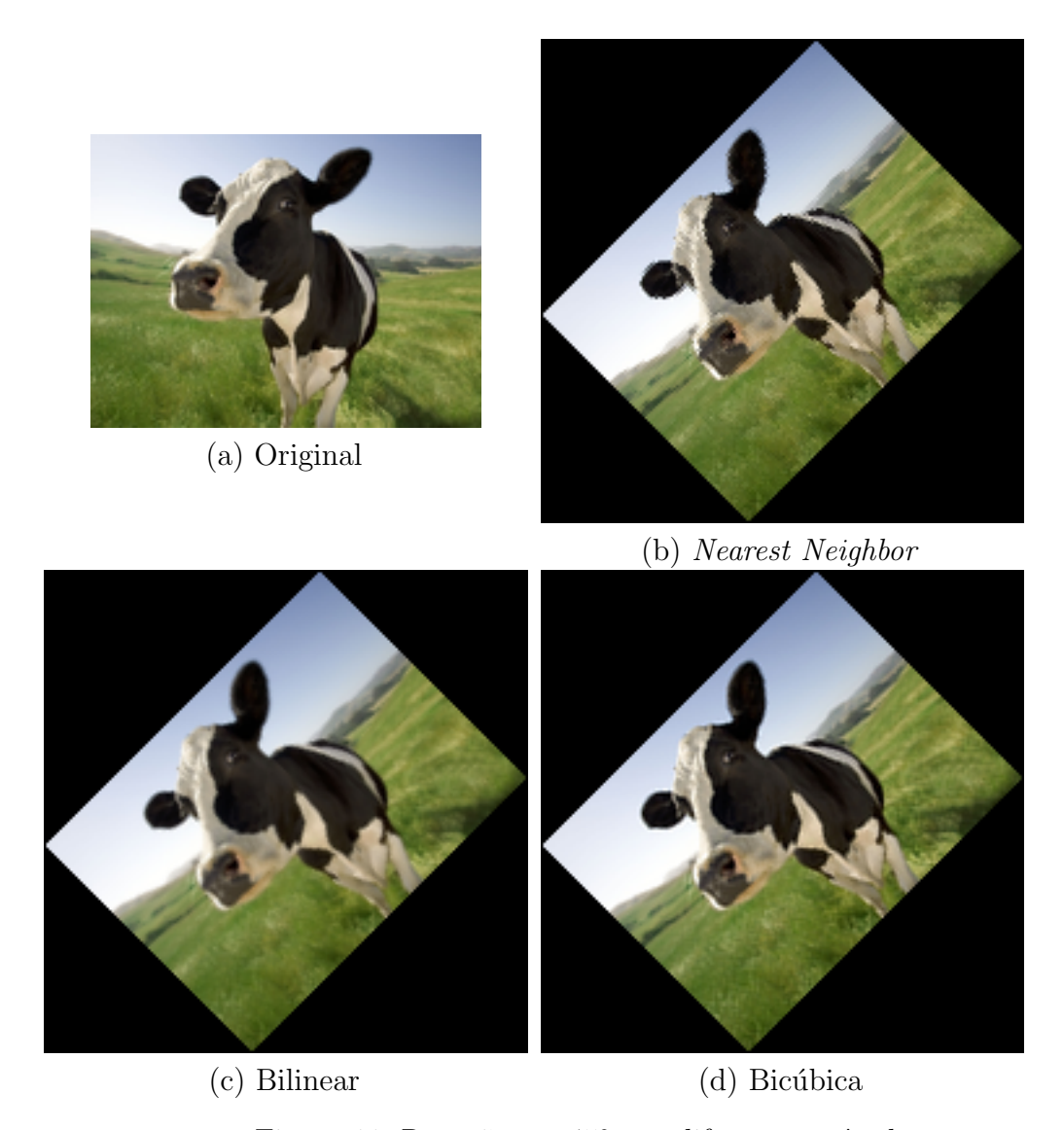


Figura 11: Rotação em  $45^\circ$  por diferentes métodos

	Nearest Neighbor	Bilinear	Bicúbica
-	0.62	0.63	2.11

Tabela 4: Tempo de execução para rotações (em segundos)

# 4 Considerações Finais

# Referências

- [1] Tinku Acharya e Ajoy K. Ray. *Image Processing Principles and Application*. 1st. Wiley, 2005.
- [2] John W Eaton, David Bateman e Soren Hauberg. GNU Octave Manual Version 3. Network Theory Ltd., 2008. ISBN: 095461206X, 9780954612061.

- [3] Dianyuan Han. "Comparison of Commonly Used Image Interpolation Methods". Em: ICCSEE, Hangzhou, China (2013).
- [4] R. Keys. "Cubic convolution interpolation for digital image processing". Em: Acoustics, Speech and Signal Processing, IEEE Transactions on 29.6 (dez. de 1981), pp. 1153–1160. ISSN: 0096-3518. DOI: 10.1109/TASSP.1981.1163711.
- [5] Johannes Kopf e Dani Lischinski. "Depixelizing Pixel Art". Em: ACM Transactions on Graphics (Proceedings of SIGGRAPH 2011) 30.4 (2011), 99:1–99:8.